

**Лабораторная работа №4**  
**«Численное решение смешанной задачи для уравнения  
теплопроводности»**

Вариант 10

Выполнил студент 3 курса 2 группы ФПМИ

Сараев Владислав Максимович

Минск, 2020

## Постановка задачи

На сетке узлов  $\bar{\omega}_{\tau h}$  найти численное решение смешанной задачи для одномерного уравнения теплопроводности с использованием:

- явной разностной схемы с  $\tau = h = 0.1$  и  $h = 0.1, \tau = \frac{h^2}{2}$
- чисто неявной разностной схемы с  $\tau = h = 0.1$
- разностной схемы Кранка-Николсон с  $\tau = h = 0.1$

Выписать соответствующие разностные схемы, указать их порядок аппроксимации, указать являются ли схемы абсолютно устойчивыми по начальным данным. Вычислить погрешность численного решения (т.е. найти  $\max_{i,j} |y_i^j - u(x_i, t_j)|$ ). Построить графики, демонстрирующие устойчивое и неустойчивое поведение явной разностной схемы.

Задача:

$$\begin{cases} \frac{\partial u}{\partial t} = \frac{\partial^2 u}{\partial x^2} - e^{-t} \sin(x+t), & 0 < x < 1, \quad 0 < t \leq 0.5 \\ u(x, 0) = \cos x, & 0 \leq x \leq 1 \\ u(0, t) = e^{-t} \cos t, & 0 \leq t \leq 0.5 \\ u(1, t) = e^{-t} \cos(1+t), & 0 \leq t \leq 0.5 \\ u(x, t) = e^{-t} \cos(x+t) \end{cases}$$

## Краткие теоретические сведения

Имеем одномерное уравнение теплопроводности с постоянными коэффициентами в прямоугольнике  $\bar{D} = \{0 \leq x \leq 1; 0 \leq t \leq T\}$ :

$$\begin{cases} \frac{\partial u}{\partial t} = \frac{\partial^2 u}{\partial x^2} + f(x, t), & 0 < x < 1, \quad 0 < t \leq T \\ u(x, 0) = u_0(x), & 0 \leq x \leq 1 \\ u(0, t) = \mu_0(t), & 0 \leq t \leq T \\ u(1, t) = \mu_1(t), & 0 \leq t \leq T \end{cases}$$

при этом функции, задающие дополнительные условия, должны быть согласованы, т.е.  $u_0(0) = \mu_0(0)$  и  $u_0(1) = \mu_1(0)$ .

Введем равномерную пространственно-временную сетку

$$\bar{\omega}_{h\tau} = \{ (x_i, t_j) : x_i = ih, \quad t_j = j\tau; h = \frac{1}{N_1}, \tau = \frac{T}{N_2}; i = \overline{0, N_1}, j = \overline{0, N_2} \}.$$

Для аппроксимации уравнения будем использовать следующую разностную схему:

$$\begin{cases} y_t = \sigma \hat{y}_{\bar{x}x} + (1 - \sigma) y_{\bar{x}x} + \varphi, & (x, t) \in \bar{\omega}_{h\tau} \\ y(x, 0) = u_0(x), & x \in \bar{\omega}_h \\ y(0, t) = \mu_0(t), & t \in \bar{\omega}_\tau \\ y(1, t) = \mu_1(t), & t \in \bar{\omega}_\tau \end{cases}$$

где  $\varphi$  – сеточная функция, аппроксимация  $f(x, t)$ .

Данная схема в индексной форме имеет вид:

$$\begin{cases} \frac{y_i^{j+1} - y_i^j}{\tau} = \sigma \frac{y_{i+1}^{j+1} - 2y_i^{j+1} + y_{i-1}^{j+1}}{h^2} + (1 - \sigma) \frac{y_{i+1}^j - 2y_i^j + y_{i-1}^j}{h^2} + \varphi_i^j, \\ i = \overline{1, N_1 - 1}, j = \overline{0, N_2 - 1} \\ y_i^0 = u_0(x_i), \quad i = \overline{0, N_1} \\ y_0^{j+1} = \mu_0(t_{j+1}), \quad j = \overline{0, N_2 - 1} \\ y_{N_1}^{j+1} = \mu_1(t_{j+1}), \quad j = \overline{0, N_2 - 1} \end{cases}$$

Дальнейшее решение зависит от параметра  $\sigma$ :

1.  $\sigma = 0$ . Тогда получаем разностная схема становится **явной**:

$$y_t = y_{\bar{x}x} + \varphi$$

или в индексной форме:

$$\frac{y_i^{j+1} - y_i^j}{\tau} = \frac{y_{i+1}^j - 2y_i^j + y_{i-1}^j}{h^2} + \varphi_i^j$$

Тогда порядок расчетов будет следующим:

- 1) заполняем нулевой слой по формулам:

$$y_i^0 = u_0(x_i), i = \overline{0, N_1}$$

- 2) для всех  $j = \overline{0, N_2 - 1}$  заполняем очередной  $(j + 1)$ -ый слой по формулам:

$$\begin{aligned} y_0^{j+1} &= \mu_0(t_{j+1}), \quad y_i^{j+1} = (1 - 2\gamma)y_i^j + \gamma(y_{i-1}^j + y_{i+1}^j) + \tau\varphi_i^j, \quad i = \overline{1, N_1 - 1} \\ y_{N_1}^{j+1} &= \mu_1(t_{j+1}), \quad \text{где } \gamma = \frac{\tau}{h^2} \end{aligned}$$

2.  $\sigma \neq 0$ . Тогда получаем  **неявную**  разностную схему:

$$\left\{ \begin{array}{l} \sigma \frac{y_{i+1}^{j+1} - 2y_i^{j+1} + y_{i-1}^{j+1}}{h^2} - \frac{1}{\tau} y_i^{j+1} = -\frac{1}{\tau} y_i^j - (1 - \sigma) \frac{y_{i+1}^j - 2y_i^j + y_{i-1}^j}{h^2} - \varphi_i^j, \\ i = \overline{1, N_1 - 1} \\ y_0^{j+1} = \mu_0(t_{j+1}) \\ y_{N_1}^{j+1} = \mu_1(t_{j+1}) \end{array} \right.$$

или

$$\left\{ \begin{array}{l} \frac{\sigma}{h^2} y_{i-1}^{j+1} - \left( \frac{1}{\tau} + \frac{2\sigma}{h^2} \right) y_i^{j+1} + \frac{\sigma}{h^2} y_{i+1}^{j+1} = -F_i^j, \quad i = \overline{1, N_1 - 1} \\ y_0^{j+1} = \mu_0(t_{j+1}) \\ y_{N_1}^{j+1} = \mu_1(t_{j+1}) \end{array} \right.$$

где  $F_i^j = \frac{1}{\tau} y_i^j + (1 - \sigma) \frac{y_{i-1}^j - 2y_i^j + y_{i+1}^j}{h^2} + \varphi_i^j$ . Решение данной системы можно найти с помощью метода прогонки. Данная схема при  $\sigma = 1$  называется  **чисто неявной схемой**  или  **схемой с опережением** , а при  $\sigma = \frac{1}{2}$   **симметричной схемой**  или  **схемой Кранка-Николсон** .

Порядок аппроксимации и устойчивость:

1. явная разностная схема:

- $\psi = O(\tau + h^2)$ , при  $\varphi = f(x, t + \tau)$
- не является абсолютно устойчивой (устойчива при  $\tau \leq \frac{h^2}{2}$ )

2. чисто неявная разностная схема:

- $\psi = O(\tau + h^2)$ , при  $\varphi = f(x, t + \tau)$
- является абсолютно устойчивой

3. разностная схема Кранка-Николсон

- $\psi = O(\tau^2 + h^2)$ , при  $\varphi = f(x, t + \frac{\tau}{2})$
- является абсолютно устойчивой

## Листинг

```
import numpy as np
from math import e, cos, sin, fabs
import matplotlib.pyplot as plt

L1 = 0
R1 = 1
L2 = 0
R2 = 0.5

def u(x, t):
    return e**(-t) * cos(x + t)

def u0(x):
    return cos(x)

def mu0(t):
    return e**(-t) * cos(t)

def mu1(t):
    return e**(-t) * cos(1 + t)

def f(x, t):
    return -e**(-t) * sin(x + t)

# значения функций в узлах
def init_values(h, tau):
    x_values = np.linspace(L1, R1, int((R1 - L1) / h) + 1)
    t_values = np.linspace(L2, R2, int((R2 - L2) / tau) + 1)
    u0_values = np.array([u0(x) for x in x_values])
    mu0_values = np.array([mu0(t) for t in t_values])
    mu1_values = np.array([mu1(t) for t in t_values])
    y_values = np.zeros((len(t_values), len(x_values)))
    u_values = np.array([np.array([u(x, t) for x in x_values]) for t in t_values])
    return x_values, t_values, u0_values, mu0_values, mu1_values, y_values, u_values

# расчет погрешности
def fault(y_values, u_values, N1, N2):
    max_delta = 0
    for i in range(N2):
        for j in range(N1):
            delta = fabs(y_values[i][j] - u_values[i][j])
            if delta > max_delta:
                max_delta = delta
    return max_delta

# вывод графика
def show_graphic(x_values, t_values, y_values, u_values):
    ax = plt.axes(projection="3d")
    xgrid, tgrid = np.meshgrid(x_values, t_values)
    ax.plot_wireframe(xgrid, tgrid, u_values, color='green', label="Function")
    ax.plot_wireframe(xgrid, tgrid, y_values, color='red', label="Approximation")
    ax.set_xlabel('x')
    ax.set_ylabel('t')
    ax.set_zlabel('y')
    plt.legend()
    plt.show()

# прогонка
def tridiagonal_matrix_algorithm(matrix, f):
```

```

n = len(f)
matrix[2][0] /= matrix[1][0]
f[0] /= matrix[1][0]
matrix[1][0] = 1
for i in range(1, n - 1):
    coeff = matrix[1][i] - matrix[2][i - 1] * matrix[0][i - 1]
    matrix[2][i] /= coeff
    f[i] = (f[i] - f[i - 1] * matrix[0][i - 1]) / coeff
    matrix[1][i] = 1
    matrix[0][i - 1] = 0
f[n - 1] = (f[n - 1] - f[n - 2] * matrix[0][n - 2]) / (matrix[1][n - 1] -
matrix[2][n - 2] * matrix[0][n - 2])
matrix[1][n - 1] = 1

for i in range(n - 2, -1, -1):
    f[i] -= f[i + 1] * matrix[2][i]
    matrix[2][i] = 0

# явный метод
def explicit_method(h, tau):
    gamma = tau / (h ** 2)
    x_values, t_values, u0_values, mu0_values, mul_values, y_values, u_values =
init_values(h, tau)
    N1 = len(x_values)
    N2 = len(t_values)

    def fi(x, t):
        return f(x, t + tau)

    fi_values = np.array([np.array([fi(x, t) for x in x_values]) for t in t_values])

    # заполняю нулевой слой
    for i in range(N1):
        y_values[0][i] = u0_values[i]

    # для всех слоев j от 1 до N1-1
    for j in range(1, N2):
        # берем y_0 из левого граничного условия
        y_values[j][0] = mu0_values[j]
        # рекуррентно вычисляем y_1 - y_(N1-2) через предыдущий слой
        for i in range(1, N1 - 1):
            y_values[j][i] = (1 - 2 * gamma) * y_values[j - 1][i] + gamma * (
                y_values[j - 1][i - 1] + y_values[j - 1][i + 1]) + tau *
fi_values[j - 1][i]
        # берем y_(N1-1) из правого граничного условия
        y_values[j][N1 - 1] = mul_values[j]

    max_delta = fault(y_values, u_values, N1, N2)
    show_graphic(x_values, t_values, y_values, u_values)
    return max_delta

# неявный метод
def implicit_method(h, tau, sigma):
    x_values, t_values, u0_values, mu0_values, mul_values, y_values, u_values =
init_values(h, tau)
    N1 = len(x_values)
    N2 = len(t_values)

    def fi(x, t):
        if sigma == 1 / 2:
            return f(x, t + tau / 2)
        return f(x, t + tau)

    fi_values = np.array([np.array([fi(x, t) for x in x_values]) for t in t_values])

    # заполняю нулевой слой
    for i in range(N1):
        y_values[0][i] = u0_values[i]

```

```

# коэффициент на главной диагонали трехдиагональной матрицы
coef1 = sigma / (h ** 2)
# коэффициенты на поддиагонали и наддиагонали
coef2 = -(1 / tau + 2 * sigma / (h ** 2))

# для всех слоев j от 1 до N1-1
for j in range(1, N2):
    # создаю трехдиагональную матрицу, где на главной диагонали стоит coef1,
    # а на поддиагонали и наддиагонали стоят coef2
    # матрица хранится в виде трех векторов
    # |coef1 coef2 0 ... 0 0| - строка для вычисления y_1 = b_1
    # |coef2 coef1 coef2 0 ... 0| - строка для вычисления y_2 = b_2
    # |0 coef2 coef1 coef2 0 ... 0| - строка для вычисления y_3 = b_3
    # | ... .. |
    # |0 ... 0 coef2 coef1 coef2| - строка для вычисления y_(N1-3) = b_(N1-3)
    # |0 ... 0 0 coef2 coef1| - строка для вычисления y_(N1-2) = b_(N1-2)
    matrix = np.array(
        [np.full(N1 - 3, coef1), np.full(N1 - 2, coef2), np.full(N1 - 3, coef1)]
    )
    # правая часть уравнения
    b = np.zeros(N1 - 2)

    # вычисление y_0 и y_(N1-1)
    y_values[j][0] = mu0_values[j] # (1)
    y_values[j][N1 - 1] = mu1_values[j] # (2)

    # вычисляю b_1 как -F_ji - coef1 * y_0
    b[0] = -coef1 * y_values[j][0] - (y_values[j - 1][1] / tau + (1 - sigma) *
                                         (y_values[j - 1][0] - 2 * y_values[j - 1][1]
                                          + y_values[j - 1][2])) / (
                                                h ** 2) +
                                         fi_values[j - 1][1])

    # вычисляю b_2 - b_(N1-3) включительно как -F_ji
    for i in range(1, N1 - 3):
        b[i] = - (y_values[j - 1][i + 1] / tau + (1 - sigma) *
                  (y_values[j - 1][i] - 2 * y_values[j - 1][i + 1] + y_values[j -
1][i + 2])) / (h ** 2) +
                  fi_values[j - 1][i + 1])

    # вычисляю b_(N1-2) как -F_ji - coef1 * y_(N1-1)
    b[N1 - 3] = -coef1 * y_values[j][N1 - 1] - \
        (y_values[j - 1][N1 - 2] / tau + (1 - sigma) *
         (y_values[j - 1][N1 - 3] - 2 * y_values[j - 1][N1 - 2]
          + y_values[j - 1][N1 - 1])) / (h ** 2) + fi_values[j - 1][N1 -
2])

    # метод прогонки
    tridiagonal_matrix_algorithm(matrix, b)
    # заполняю y с 1 по (N1-2) индексы включительно
    # y_0 и y_(N1-2) заполнены в (1) и (2)
    for i in range(1, N1 - 1):
        y_values[j][i] = b[i - 1]

max_delta = fault(y_values, u_values, N1, N2)
show_graphic(x_values, t_values, y_values, u_values)
return max_delta

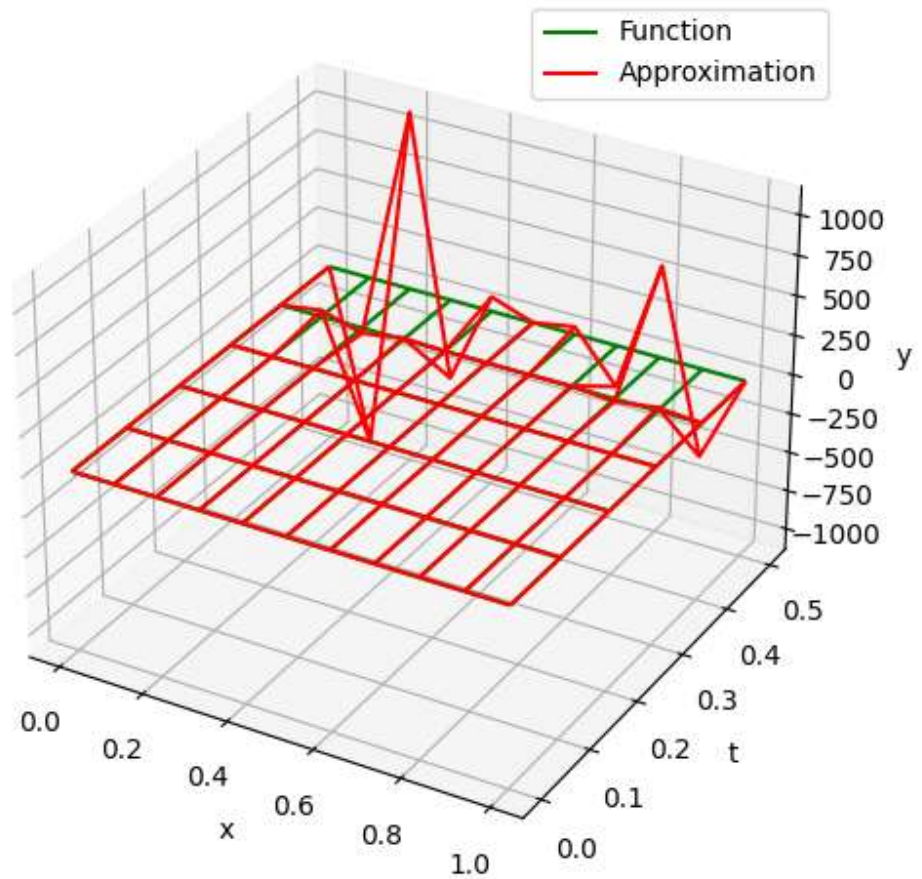
if __name__ == "__main__":
    # явная разностная схема с tau = h = 0.1
    print(explicit_method(0.1, 0.1))
    # явная разностная схема с h = 0.1 и tau = h^2/2
    print(explicit_method(0.1, 0.005))
    # чисто неявная разностная схема с tau = h = 0.1
    print(implicit_method(0.1, 0.1, 1))
    # разностная схема Кранка-Николсон с tau = h = 0.1
    print(implicit_method(0.1, 0.1, 1 / 2))

```

## Результаты

1. Явная разностная схема с  $\tau = h = 0.1$

$$\max_{i,j} |y_i^j - u(x_i, t_j)| = 1127.868933310336$$

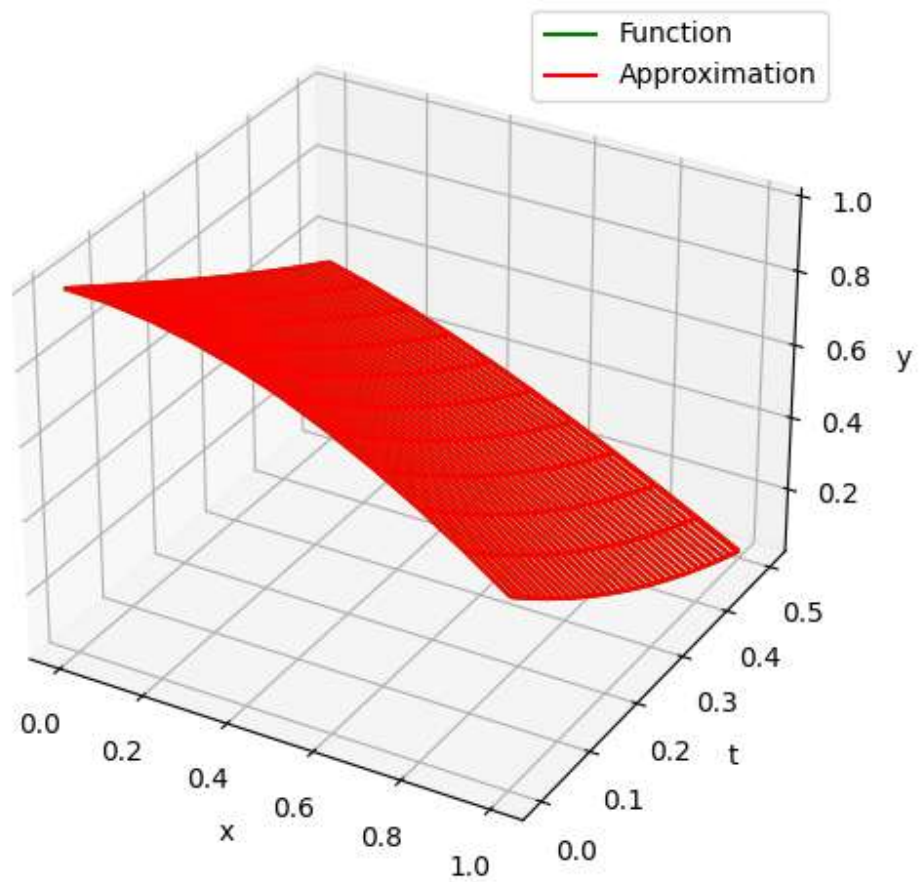


Как видно из графика и погрешности, метод неустойчив при  $\tau = h = 0.1$ , т.к. условие его устойчивости  $\tau \leq \frac{h^2}{2}$  не выполнено.



2. Явная разностная схема с  $h = 0.1, \tau = \frac{h^2}{2}$

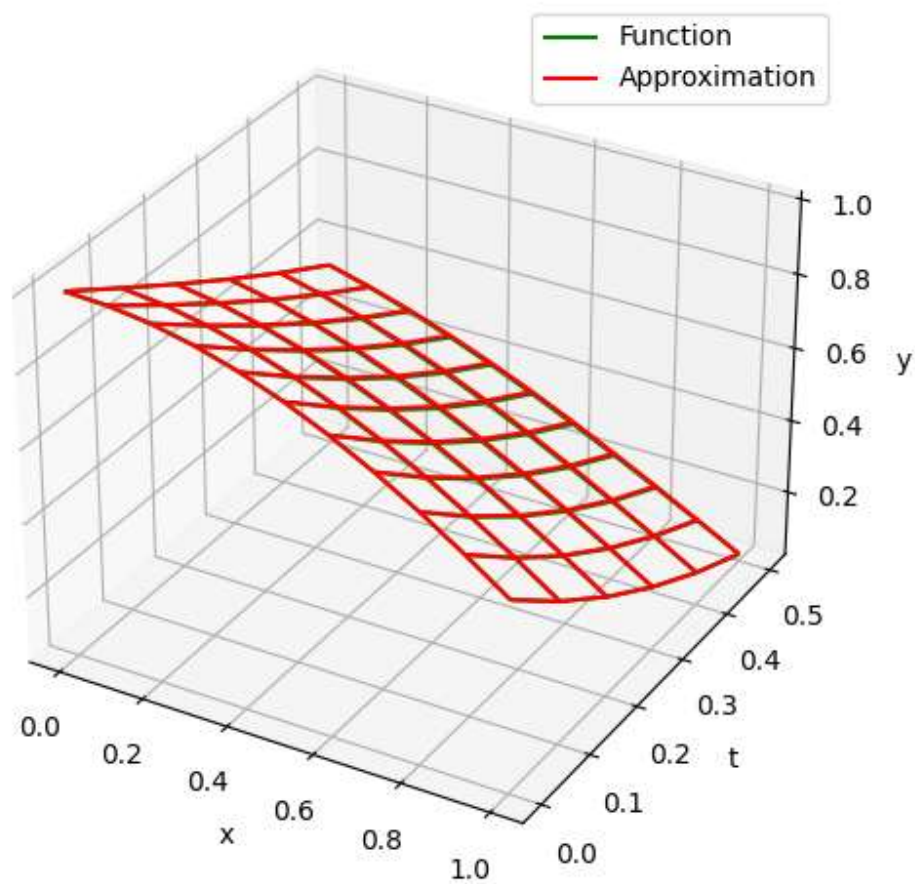
$$\max_{i,j} |y_i^j - u(x_i, t_j)| = 0.00031326119148944453$$



Как видно из графика и погрешности, метод устойчив при  $h = 0.1, \tau = \frac{h^2}{2} = 0.005$ , т.к. условие его устойчивости  $\tau \leq \frac{h^2}{2}$  выполнено.

3. Чисто неявная разностная схемы с  $\tau = h = 0.1$

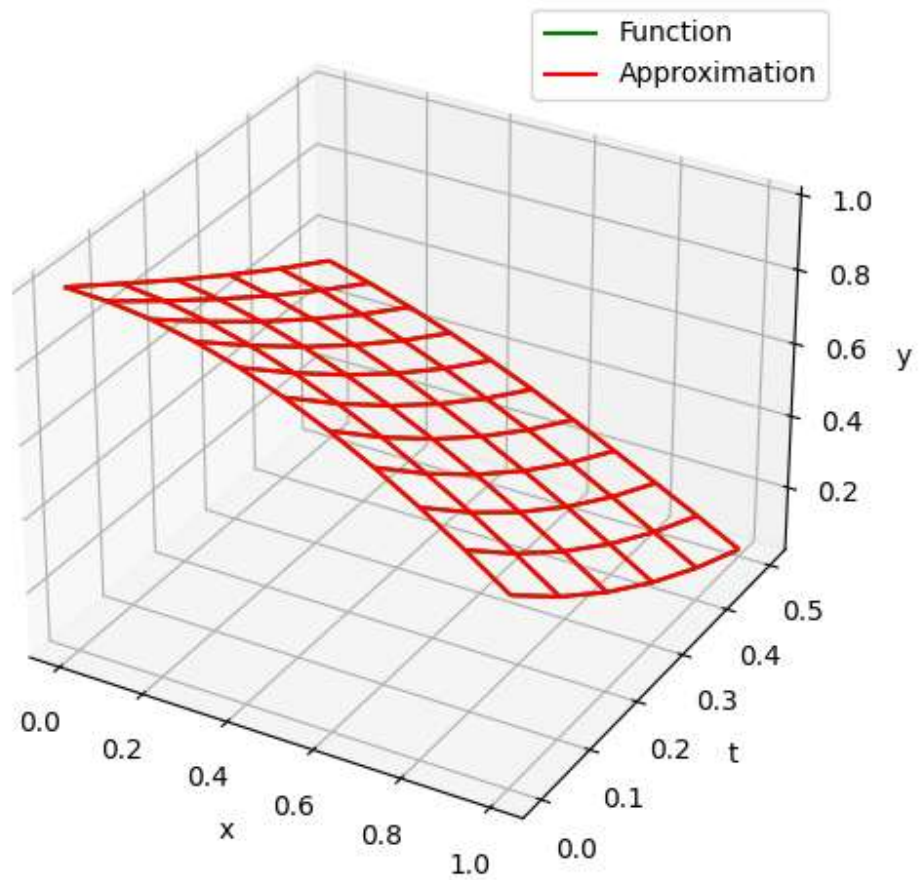
$$\max_{i,j} |y_i^j - u(x_i, t_j)| = 0.006208571445543987$$



Как видно из графика и погрешности, метод устойчив при  $\tau = h = 0.1$ , т.к. он является абсолютно устойчивым.

4. Разностная схема Кранка-Николсон с  $\tau = h = 0.1$

$$\max_{i,j} |y_i^j - u(x_i, t_j)| = 0.00010642457938037087$$



Как видно из графика и погрешности, метод устойчив при  $\tau = h = 0.1$ , т.к. он является абсолютно устойчивым.

## **Выводы**

С помощью разностных схем можно достаточно точно найти численное решение смешанной задачи для одномерного уравнения теплопроводности. Для этого можно использовать как явный метод, так и неявные. Явный метод проще в реализации, но для его устойчивости необходим достаточно малый шаг по  $t$ . В свою очередь, неявный метод хоть и требует решение  $(t - 1)$  СЛАУ с трехдиагональной матрицей, абсолютно устойчивым и точнее, если использовать схему Кранка-Николсон.